

### 3 Redução de ruído

#### 3.1. Algoritmo *NLM*

Como a maioria dos algoritmos para redução de ruído, o algoritmo *NLM* usa o cálculo de médias como forma de eliminar ruído. A diferença está em que, enquanto a maioria dos algoritmos usa o fato de que as características que estão próximas entre si na imagem tendem a ter valores semelhantes e portanto podem ser usadas para calcular a média, o algoritmo *NLM* parte de outra suposição: imagens naturais tem características que se repetem e que podem ser detectadas globalmente, e não localmente. Para remover o ruído de um pixel  $p$ , o algoritmo procura características semelhantes a aquelas no entorno de  $p$  por toda a imagem, e atribui um peso a cada pixel de acordo com a “semelhança” da sua vizinhança com a vizinhança de  $p$ . A filtragem de  $p$  é portanto efetuada através de uma média ponderada de todos os pixels da imagem. A questão de semelhança pode ser explicada usando a Figura 4:



Figura 4 semelhança

Vizinhanças de pixels como para  $p_1$ ,  $p_2$  e  $p_3$  levam os valores altos para a média  $w(p_1, p_2)$  e  $w(p_1, p_3)$  enquanto que vizinhanças muito diferentes como para  $p_1$  e  $p_4$  produzem valores baixos para a média  $w(p_1, p_4)$ . Os valores dos pixels  $p_2$  e  $p_3$  terão pesos muito mais altos na média computada para  $p_1$  do que  $p_4$ .

A semelhança é computada usando a **distância Euclidiana ponderada** da vizinhança de pixel. Esta métrica foi provada adequada em [2], e consistente em um ambiente com ruído pois ela aumenta a distância entre dois pixels originalmente idênticos por uma constante. Isto será demonstrado depois das definições a seguir.

Dada uma imagem com ruído  $v = \{v(i) | i \in I\}$ , o valor estimado  $NL(v)(i)$  é computado como a média ponderada de todos os pixels da imagem:

$$\text{Equação 1.} \quad NL(v)(i) = \sum_{j \in I} w(i, j)v(j)$$

onde o peso pertence ao intervalo  $[0, 1]$  e a soma de todos os pesos é 1

$$0 \leq w(i, j) \leq 1 \text{ e } \sum_{j \in I} w(i, j) = 1.$$

Um sistema de vizinhança para  $I$  é uma família  $N = \{N_i\}_{i \in I}$  de subconjuntos de  $I$  tal que, para todo  $i \in I$ :

1.  $i \in N_i$
2.  $j \in N_i \Rightarrow i \in N_j$

O subconjunto  $N_i$  é chamado de **vizinhança** ou janela de semelhança para  $i$ . As janelas de semelhança podem ter tamanhos e formatos distintos, mas por simplicidade uma janela retangular será utilizada. A semelhança entre os pixels  $i$  e  $j$  depende da semelhança entre a intensidade dos níveis de cinza, dada pelos vetores  $v(N_i)$  e  $v(N_j)$ . Na Figura 4, a vizinhança dos pixels  $p_1$ ,  $p_2$  e  $p_3$  é dada pela coleção dos níveis de cinza de todos os pixels nos quadrados que os circundam. Veja a Figura 5 para um exemplo.



Figura 5 Vizinhança de similaridade

Pixels com vizinhanças de cinza similar a  $v(N_i)$  terão pesos maiores no cálculo da média do pixel  $i$ . A semelhança é computada usando uma versão com pesos da distância Euclidiana. A **distância Euclidiana quadrática** ( $L^2$ ) entre dois vetores

$$x = (x_1, x_2, \dots, x_k), y = (y_1, y_2, \dots, y_k)$$

é definida por:

**Equação 2.** 
$$d^2(x, y) = \sum_{j=1}^k (x_j - y_j)^2$$

e a **distância Euclidiana quadrática ponderada** ( $L^2$  ponderada) é definida como:

**Equação 3.** 
$$d_a^2(x, y) = \sum_{j=1}^k a_j (x_j - y_j)^2 \text{ e } a_j \geq 0$$

onde a contribuição da distância em cada eixo  $j$  à distância total é ponderada pelo coeficiente  $a_j$ .

No algoritmo *NLM*, os pesos  $a_j, j = 1, \dots, k$  são definidos usando um kernel Gaussiano bidimensional. A função de kernel é a versão bidimensional da distribuição normal, dada pela equação:

$$G(i, j) = \frac{1}{4\pi\sigma^2} e^{-\frac{i^2+j^2}{4\sigma^2}}$$

A forma geral do kernel Gaussiano bidimensional está exibida no lado direito da Figura 6, e um kernel 5x5 está desenhado no lado esquerdo. Quando o kernel é aplicado à vizinhança centrada no pixel  $p$ , o pixel central ( $p$ ) recebe o maior peso e os outros pixels da vizinhança recebem peso exponencialmente inverso à sua distância a  $p$ .

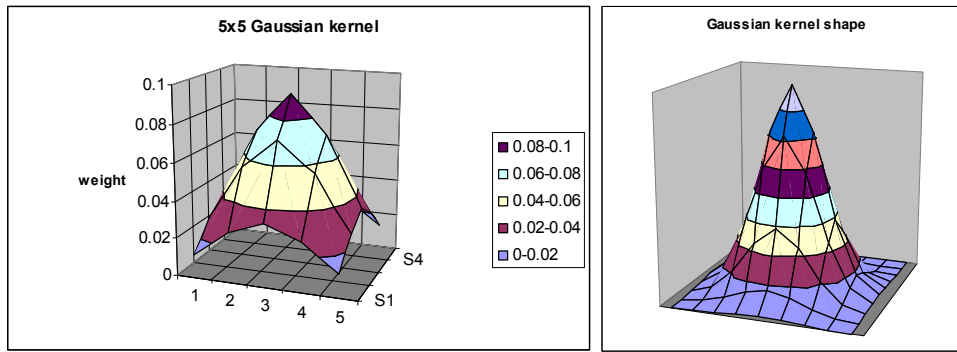


Figura 6 Kernel Gaussiano

O exemplo acima define uma vizinhança de 5x5 pixels e um kernel Gaussiano estão definidos;  $d_a^2$  é computada entre 2 vetores de tamanho 25. Os coeficientes do kernel são computados a partir função Gaussiana bidimensional

com desvio padrão  $a$ :  $G_a(i, j) = \frac{1}{4\pi a^2} e^{-\frac{i^2+j^2}{4a^2}}$  para valores de  $i, j = -2, -1, 0, 1, 2$ ; os

coeficientes são normalizados de tal forma que  $\sum_{j=1}^k a_j = 1$  por

$$a_{i^*s+j} = \frac{G_a(i, j)}{\sum_{i,j=(-2,\dots,2)} G_a(i, j)}$$

O vetor do kernel  $R^{25}$  neste caso está descrito Figura 7:

$$\frac{1}{577} \times \begin{array}{|c|c|c|c|c|} \hline 2 & 7 & 12 & 7 & 2 \\ \hline 7 & 31 & 52 & 31 & 7 \\ \hline 12 & 52 & 127 & 52 & 12 \\ \hline 7 & 31 & 52 & 31 & 7 \\ \hline 2 & 7 & 12 & 7 & 2 \\ \hline \end{array}$$

Figura 7 5x5 Kernel Gaussiano

Note que a soma de todos os 25 componentes do vetor (depois de normalizados por  $\frac{1}{577}$ ) é 1, e o peso de cada pixel no kernel é inversamente proporcional à sua distância ao centro.

Depois de discutir a política de atribuição de pesos, podemos voltar a definição da distância.  $N_i$  e  $N_j$  são janelas de semelhança centradas no pixels  $i$  e  $j$  que se correspondem e portanto

$$v(N_i) = (v(N_{i_1}), v(N_{i_2}), \dots, v(N_{i_k})) \text{ e } v(N_j) = (v(N_{j_1}), v(N_{j_2}), \dots, v(N_{j_k}))$$

são ambos vetores de intensidade de cinza com a mesma cardinalidade do kernel Gaussiano. A distância  $L^2$  ponderada,  $d_a^2$ , pode ser escrita como:

$$\|v(N_i) - v(N_j)\|_{2,a}^2 = \sum_{l=1}^k a_l (v(N_{i_l}) - v(N_{j_l}))^2$$

Após definir a distância, podemos definir como pesos são atribuídos a cada pixel de acordo com a Equação 1. Os pesos associados à distância são definidos por:

**Equação 4.** 
$$w(i, j) = \frac{1}{Z(i)} e^{-\frac{\|v(N_i) - v(N_j)\|_{2,a}^2}{h^2}},$$

onde  $Z(i)$  é o fator de normalização:

**Equação 5.** 
$$Z(i) = \sum_{j \in I} e^{-\frac{\|v(N_i) - v(N_j)\|_{2,a}^2}{h^2}},$$

e o *fator de decaimento*  $h$  controla o decaimento da função exponencial e portanto o decaimento dos pesos em função da distância Euclidiana. Note que  $h$  é um “fator de filtragem” no sentido de que é responsável por definir os pesos adequados de acordo com a distância computada. Para valores pequenos de  $h$ , uma distância muito pequena deve ser computada para ter alguma contribuição, e para valores altos de  $h$ , mesmo distâncias consideráveis podem influenciar o valor do pixel. Isto significa que se escolhermos um valor de  $h$  muito alto, podemos distorcer a imagem e, se escolhermos um valor de  $h$  muito baixo, podemos não remover suficientemente o ruído. A Figura 8 mostra o decaimento rápido da função de ponderação para valores baixos de  $h$  como uma função da distância. A curva no alto da figura,  $h^2 = 20$ , decai vagorosamente com a distância, enquanto que a curva na parte de baixo da figura,  $h^2 = 2$ , decai abruptamente e resulta em pesos bastante pequenos para distâncias acima de  $d_a^2 = 5$ .

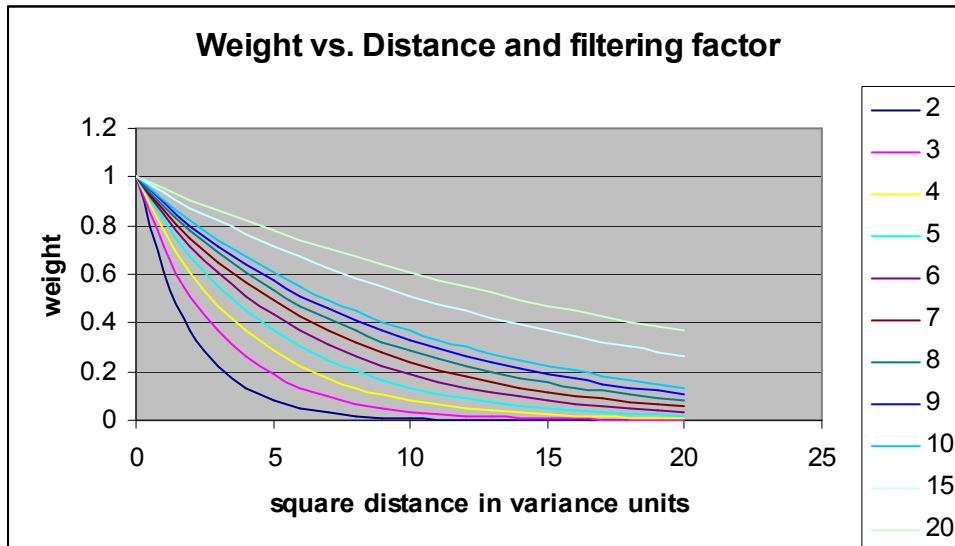


Figura 8 Peso como uma função da distância e do fator de decaimento

A Figura 9 demonstra que o efeito do fator de decaimento na imagem filtrada. No alto à esquerda, a imagem com ruído para  $\sigma_n=20$ . As 3 outras imagens são filtradas pelo *NLM* com fatores de decaimento diferentes. As imagens no topo à direita possuem  $h^2 = 200$ ; na parte de baixo à esquerda,  $h^2 = 100$ ; e na parte de baixo à direita,  $h^2 = 2000$ .



Figura 9 Efeito do fator de decaimento na imagem filtrada

A imagem na parte de baixo à esquerda está “pouco filtrada” e mostra um considerável nível de ruído. A imagem na parte de baixo à direita está “muito filtrada” e muitos detalhes finos desapareceram junto com o ruído. A imagem no topo à direita, filtrada de acordo com a recomendação original de  $h^2 = 10\sigma_n$ , apresenta um bom equilíbrio entre perda de detalhes e ruído residual.

Note que para “ruído branco” com desvio padrão  $\sigma_n$  e média zero, o valor esperado da distância  $L^2$  ponderada entre duas vizinhanças é dado por:

$$E\|v(N_i) - v(N_j)\|_{2,a}^2 = \|u(N_i) - u(N_j)\|_{2,a}^2 + 2\sigma_n^2.$$

A distância  $L^2$  ponderada das duas vizinhanças da imagem com ruído possui uma distância fixa de  $2\sigma_n^2$  da distância das mesmas vizinhanças na imagem original antes da adição de ruído branco. Se as duas vizinhanças originalmente

similares forem comparadas  $(\|u(N_i) - u(N_j)\| = 0)$ , as vizinhanças com ruído deverão ter uma distância  $L^2$  ponderada de  $2\sigma_n^2$ . Isto mostra que a distância  $L^2$  ponderada é de fato consistente entre a imagem original e a imagem com ruído, adicionando duas vezes a variância do ruído à distância computada.

### 3.2. Comentários sobre *NLM* para vídeo

Depois de apresentar os princípios do *NLM*, podemos comentar que o *NLM* não é específico para imagens estáticas. *NLM* pode operar de forma semelhante nos quadros de um filme, usando para computar a média para os pixels de outros quadros. Isto é lógico pois a probabilidade de uma série de quadros consecutivos compartilhar muitos pixels similares é muito alta. Métodos anteriores que tentaram usar médias tomadas entre quadros usualmente enfrentam o problema de “estimativa de movimento”: a necessidade de estimar o movimento relativo entre dois quadros de tal forma que o pixel filtrado possa ser identificado em quadros diferentes. O *NLM*, no entanto, não precisa levar em consideração este problema, pois a pesquisa por vizinhanças semelhantes pode ser feita sobre todos os pixels em quadros subseqüentes ou usando uma janela de busca que limite a pesquisa em três dimensões em lugar de duas. Este algoritmo tem a mesma complexidade (de tempo) que o algoritmo original multiplicada pelo número de quadros que participar do cálculo da média. A alta complexidade deste algoritmo impede que seja utilizado em aplicações reais de processamento de vídeo.

### 3.3. Complexidade de tempo do *NLM*

A complexidade de tempo do *NLM* pode ser escrita como  $O(n^2w)$  onde  $n$  é o número de pixels na imagem e  $w$  é o tamanho da janela de vizinhança. Quando se considera o uso do *NLM* para imagens coloridas de 3Mpixel, com três planos de cores e uma janela de vizinhança pequena de tamanho 25, o número de operações atinge  $3 * (3 * 2^{20})^2 * 25 = 7.42 * 10^{14}$ . Isto é claramente impraticável em tempo razoável. Por esta razão, *NLM* define uma *janela de busca* dentro da qual a busca por vizinhanças semelhantes será efetuada. Isto depende da suposição de

que em uma imagem natural características próximas tendem a ser semelhantes. Isto nos permite reduzir a complexidade do tempo para  $O(nsw)$ , quando  $s$  é o tamanho da janela de busca. Repetindo o exemplo acima com uma janela de busca de tamanho 400, temos  $3 * (3 * 2^{20}) * 400 * 25 = 9.44 * 10^{10}$  operações. Isto ainda é da ordem de 100Giga operações.

Note que usando uma janela de busca em lugar de pesquisar toda a imagem, o algoritmo modificado abandona a idéia de filtrar características semelhantes na imagem que estão a uma distância maior do que a janela de busca. Na Figura 10, ao filtrar  $p_1$ , podemos usar o valor de  $p_2$  na filtragem mas não o valor de  $p_3$  pois ele está fora da janela de busca (indicada pelo quadrado branco em volta de  $p_1$ ).

Para concluir, mesmo sacrificando características do algoritmo original, o algoritmo modificado não reduz o tempo de processamento a níveis razoáveis.

Outra forma imediata de reduzir a complexidade seria reduzir o tamanho da janela de semelhança. Isto pode causar distorções na imagem por falta de informação sobre semelhança. Os autores do *NLM* [1] recomendam uma janela de semelhança de 9x9 ou 7x7 para imagens em níveis de cinza e uma janela de semelhança de 5x5 ou mesmo 3x3 para imagens coloridas com pouco ruído. Podemos então concluir que não há muita margem para acelerar o algoritmo sem sacrificar esta característica importante.



Figura 10 Janela de semelhança